



شانزدهمین سمینار ملی مهندسی سطح

بهمن ماه ۱۳۹۴

انجمن علم و تکنولوژی سطح ایران

بررسی شرایط ایجاد نانو پوشش های زیر کوئیاچی تهیه شده به روش الکتروفورتیک

فهیمه صابری^۱, بهروز شایق بروجنی

دانشگاه شهر کرد، دانشکده فنی مهندسی

چکیده

در سال های اخیر علاوه زیادی در زمینه تولید و استفاده از پوشش های نانو ساختار با دمای کاری بالا در صعut به وجود آمده است. از جمله کاربردهای آن می توان به استفاده از آن در ساخت پیل های سوختی خصوصاً پیل های سوختی اکسید جامد (SOFC) اشاره نمود. بدین منظور از نانو پودر زیر کوئیا استفاده شد. در این تحقیق رسوب نشانی الکتروفورتیک نانو ذرات زیر کوئیا در سوسپانسیون های تهیه شده از الکل های اتانول، ایزوپروپانول و بوتانول با افزودنی تری اتانول آمین مورد بررسی قرار گرفت. اثر نوع حلال، علظت افزودنی و پتانسیل زتابی ذرات مورد مطالعه قرار گرفت و سوسپانسیون های با پایداری بالا، جهت رسوب نشانی الکتروفورتیک تهیه گردید. اثر عوامل مختلف بر روی ریز ساختار پوشش ها، تغییرات دانسیته حریان و وزن نشت در طول فرایند، سرعت تشکیل رسوب و تاثیر عوامل مختلف بر روی این پارامترها بررسی شدند. نتایج نشان دادند که با افزایش دانسیته حریان وزن نشت افزایش یافته و با افزایش زمان سینتیک نشت کاهش می یابد. همچنین در ولتاژ های بسیار بالا کیفیت نشت کاهش یافته است. زیر پوشش های رسوب داده شده از هر سه سوسپانسیون با افزایش ولتاژ رسوب نشانی افزایش یافت.

واژه های کلیدی: نشت الکتروفورتیک، نانو ذرات زیر کوئیا، اتانول، بوتانول، ایزوپروپانول، پیل سوختی اکسید جامد

¹. f.saber140@gmail.com

تکنیک رسوب دهن الکتروفورتیک^۱ (EPD) با گستره‌ی وسیعی از کاربردهای جدید در فرایندهای تولید مواد سرامیکی پیشرفته و تولید پوشش‌ها، اخیراً در دو بخش صنعتی و دانشگاهی مورد توجه قرار گرفته است. علت این امر نه تنها به خاطر تطبیق‌پذیری این روش با مواد مختلف و قابلیت ترکیب شدن آن‌ها است، بلکه به خاطر تجهیزات ساده‌ی مورد نیاز برای رسوب دهن با این روش نیز می‌باشد [۱]. نشت الکتروفورتیک یا EPD فرایندی است که در آن ذرات باردار موجود در سوپاپسیون تحت اثر میدان الکتریکی DC به سمت الکترود با بار مخالف حرکت می‌کنند، بر روی آن بار خود را از دست داده و فیلم چگالی را تشکیل می‌دهند. فرایند EPD ساده و کم هزینه است و می‌تواند برای شکل‌دهی فیلم‌های یکنواخت و نازک بر روی زیر لایه‌های با اشکال پیچیده مانند استک لوله‌ای پیل‌های سوختی^۲ به کار رود. علاوه بر آن، این روش دارای سرعت نشت بالا و یکنواخت در لایه تشکیل یافته می‌باشد [۲]. به طور خاص، با وجود اینکه این روش یک روش تراست، می‌توان به آسانی ضخامت و مورفولوژی فیلم رسوب داده شده را از طریق تنظیم زمان رسوب دهن و پتانسیل اعمالی، تغییر داد. این مزایا فرایند EPD را جهت ساخت پیل‌های سوختی مناسب ساخته است [۳].

پیل‌های سوختی اکسید جامد (SOFC)^۳ به منظور کاهش قیمت و بهینه‌سازی عملکرد پیل‌های سوختی به ویژه پیل سوختی کربنات طراحی شده‌اند. الکتروولیت به کار رفته در آن‌ها از جنس سرامیک است. وجود الکتروولیت جامد مشکلات مربوط به رسوب دادن الکتروولیت را از بین می‌برد و امکان انتقال الکتروولیت توسط گازهای اکسیدان و سوخت وجود ندارد. در این نوع پیل‌ها، خوردگی الکتروولیت و تنظیم آن متفاوت است و طرح آن‌ها به علت جامد بودن اجزاء اعطا ف پذیر می‌باشد. دمای عملکرد این پیل‌ها به دلیل امکان ایجاد رسانش یونی بالاست و به همین دلیل جایگزین مناسبی برای پیل‌های سوختی که تحمل دمای بالا را ندارند، است [۴].

در این تحقیق ابتدا سوپاپسیون پایدار از الکل‌های اتانول، ایزوپروپانول و بوتانول توسط تری اتانول آمین تهیه شد. سپس به بررسی تأثیرات دانسته جریان و زمان در طول فرایند بر روی مورفولوژی نشت پرداخته شد. همچنین تأثیر نوع الکتروولیت بر کیفیت لایه نشت یافته مورد بررسی قرار گرفت و پارامترهای بهینه ارائه گردید.

مواد و روش تحقیق

در این تحقیق از ۲ الکل اتانول (amerck # ۹۹/۵٪، ۹۹/۵٪ amerck # ۱۰۰.۹۹۵)، ایزوپروپانول (amerck # ۱۰۰.۹۸۳)، بوتانول (amerck # ۹۹/۵٪، ۹۹/۵٪ amerck # ۱۰۱۹۹) و نانو پودر زیرکونیا با خلوص ۹۹/۵٪ جهت تهیه سوپاپسیون پایدار استفاده شد. جنس زیرلایه‌ها فولادی انتخاب گردید. جهت پایدار سازی سوپاپسیون نیز از تری اتانول آمین استفاده شد. جنس زیرلایه‌ها فولادی انتخاب گردید. جهت پایدار سازی سوپاپسیون نیز از تری اتانول آمین استفاده شد (TEA).

¹ - electrophoretic deposition

² - Tubular Cell Stack

³ - Solid oxide fuel cell

شانزدهمین سیمار ملی مهندسی سطح

برای پایدارسازی سوسپانسیون، ابتدا سوسپانسیون با مقادیر مختلف TEA (v/v٪ ۰/۱۵، ۰/۴۵ و ۰/۶٪) همراه با میزان ۱۰ g/۱ نانوپودر زیرکونیا تهیه شد. پس از آن ۱۵ min آلتراسونیک گردید و به مدت ۴۸ hr پیرسازی شد. به دنبال آن پس از ۳۰ min آلتراسونیک، سوسپانسیونی پایدار بدست آمد. سوسپانسیون‌ها به لوله های ۱۰ ml منتقل شدند و به مدت ۱۵ دقیقه و ۵ روز در مکانی ثابت، بدون حرکت و یا تنش بیرونی نگه داشته شدند. پس از زمان مورد نظر، حجم سوسپانسیون‌ها ثبت گردید. جهت آماده سازی سوسپانسیون‌ها برای انجام آزمون از سه الکل اتانول، ایزوپروپانول و بوتانول همراه با مقادیر مختلف TEA (v/v٪ ۰/۱۵، ۰/۴۵ و ۰/۶٪) استفاده گردید. سپس آزمون پتانسیل زتا توسط دستگاه زتمتر (Malvern instrument, Worcestershire, U.K.) انجام شد. برای انجام این تست، دستگاه بر روی light-scattering تقطیم بود. بنابراین میبایست از سوسپانسیونی رفیق استفاده می‌شد که بدین منظور غلظت ذرات ۱ g/۰.۵ متوسط TEA انتخاب گردید.

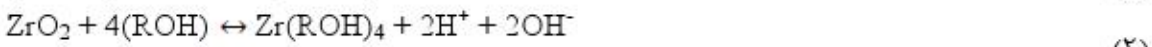
به منظور بررسی جذب شیمیایی TEA توسط ذرات نانو پودر زیرکونیا، ابتدا سوسپانسیون با مقادیر بهینه TEA (اتanol+۰/۱۵/v، TEA، ایزوپروپانول+۰/۳/v و بوتانول+۰/۴۵/v) که توسط دو آزمون تهشیی و پتانسیل زتا بدست آمده بود و میزان ۱۰ g/۱ نانوپودر زیرکونیا آماده شد. پس از آن با استن سل الکتروفورتیک، اعمال ولتاژ و انجام فرایند EPD، لایه نشانی بر روی الکترود زیرلایه صورت گرفت. پوشش نشست یافته بر روی الکترود در مجاورت هوا و در دمای اتاق خشک شد و پودر نشست یافته از زیرلایه جدا گشت. آنالیز توسط دستگاه FT Infrared Spectroscope, Jasco, FT/IR-6300 cm⁻¹ در محدوده طول موج ۴۰۰-۴۰۰۰ انجام شد.

به منظور انجام فرایند الکتروفورتیک، ورق فولادی با مساحت سطح ۱ cm² به عنوان الکترود زیرلایه، و ورق فولادی با مساحت سطح ۱/۵ cm² به عنوان الکترود کمکی مورد استفاده قرار گرفت. الکترود زیرلایه و الکترود کمکی به فاصله ۱ cm از یکدیگر قرار گرفتند. به دلیل آنکه ذرات دارای بار مثبت بودند، سل EPD به گونه ای بسته شد که زیرلایه به عنوان کاتد به سر منفی منبع تغذیه متصل شد و الکترود کمکی به عنوان آند قرار گرفت. آزمون EPD در ولتاژهای مختلف (V ۱۰، ۲۰، ۳۰، ۶۰، ۱۰۰، ۲۰۰، ۳۰۰، ۴۰۰ s و ۳۰۰، ۲۴۰، ۱۸۰، ۱۲۰، ۶۰) در سوسپانسیون پایدار شده با مقادیر بهینه TEA انجام شد. پس از لایه نشانی بر روی زیرلایه در زمان و ولتاژ معین، زیرلایه در مجاورت هوا و دمای اتاق خشک شد. جهت بررسی زیرلایه، ابتدا لایه نشانی در ولتاژهای V ۶۰ و ۲۰ به مدت ۳ دقیقه در سوسپانسیون‌های پایدار شده از هر الکل پوشش دهن و خشک گردید. سپس ریزساختار پوشش حاصل و مورفولوژی سطح نمونه‌ها توسط میکروسکوب الکترونی گسیل میدانی Mira 3-XMU (Field Emission SEM) بررسی شد.

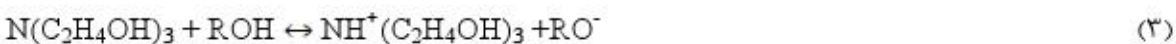
نتایج و بحث

حجم سوسپانسیون برای سوسپانسیون های الکلی با غلظت های مختلف TEA بعد از ۱۵ min و ۵ day در شکل نشان داده شده است. همان گونه که در شکل ۱-الف دیده می شود با اضافه کردن TEA ، هر سه سوسپانسیون دارای پایداری مناسبی می باشد. در زمان های طولانی با افزایش میزان TEA پایداری سوسپانسیون تا حایی افزایش یافته و پس از آن کاهش می یابد (شکل ۱-ب). حجم سوسپانسیون در غلظت های ۰/۴۵، ۰/۳ و ۰/۱۵ درصد حجمی به ترتیب برای اتانول، ایزوپروپانول و بوتانول بالاترین مقدار بود. این غلظت ها به عنوان غلظت های بهینه انتخاب گردید.

نتایج اندازه گیری پتانسیل زتا برای سوسپانسیون های الکلی با غلظت های مختلف TEA در شکل ۲ نشان داده شده است. همان گونه که مشاهده می گردد با اضافه کرد TEA ، مقادیر پتانسیل زتا افزایش یافته و پس از آن کاهش می یابد. در یک سوسپانسیون با زیرکونیا پایدار شده در الکل، دوقطبی گروه $\text{OH}-\text{O}$ - روی سطح زیرکونیا تعامل به گرفتن پروتون از الکل برای تشکیل بار مثبت روی سطح ذرات دارد (واکنش ۱) [۵]. علاوه بر این واکنش شیمیایی بین زیرکونیا و الکل (واکنش ۲) نیز باعث آزاد شدن تعداد زیادی پروتون می گردد [۶]. هردوی این واکنش ها کمک به تشکیل زتا پتانسیل مثبت بر روی ذرات می کند.



با اضافه کردن TEA به سوسپانسیون، به دلیل وجود حفت الکترون غیر پیوندی روی اتم نیتروژن، روی عنوان TEA با کپایه ضعیف آلتی عمل کرده و می تواند از مولکول های الکل پروتون بگیرد و تشکیل ترکیبات $\text{NH}^+(\text{C}_2\text{H}_4\text{OH})_3$ دهد (واکنش ۳). TEA پروتونه شده به طور مؤثر جذب نانو ذرات زیرکونیا در سوسپانسیون های اتانول، ایزوپروپانول و بوتانول می شود. باندهای N-H روی طیف های FTIR گویای این مدعای است. بنابراین این ترکیبات باعث غنی تر شدن بار سطحی ذرات شده و پتانسیل زتا مثبت ذرات را افزایش خواهند داد.



با توجه به نتایج حاصل از آزمون های تهشیی و پتانسیل زتا مقادیر بهینه TEA برای سوسپانسیون های اتانول، ایزوپروپانول و بوتانول به ترتیب ۰/۴۵، ۰/۳ و ۰/۱۵ درصد حجمی انتخاب گردید. نتایج به دست آمده از آنالیز FTIR برای پودرهای جداسده از سوسپانسیون های اتانول، ایزوپروپانول و بوتانول در شکل ۳ نشان داده شده است. با توجه به شکل، پودرهای جداسده از سوسپانسیون های اتانول، ایزوپروپانول و بوتانول، ۴ پیک در محدوده 1080 cm^{-1} ، 1360 cm^{-1} ، 1570 cm^{-1} ، 1600 cm^{-1} و 3400 cm^{-1} را نشان می دهد که به ترتیب متعلق به ارتعاشات

شانزدهمین سیمار ملی مهندسی سطح

خمشی H-O-H و ارتعاشات کششی C-H، O-H، C-N می‌باشد [۷-۹]. این نتایج حاکی از جذب تری اتانول آمین پروتوندار بر سطح ذرات زیرکونیا در این سوپسانسیون است. در مورد این سه الکل، به دلیل بزرگ بودن اندازه مولکول‌ها، واکنش حلالیت بین این مولکول‌ها و مولکول‌های تری اتانول آمین پروتوندار ضعیف است بنابراین تری اتانول آمین پروتوندار می‌تواند از پوسته اطراف الکل آزاد شود و جذب نانو ذرات زیرکونیا گردد. در شکل ۴ وزن نشت سوپسانسیون ZrO_2 بر حسب زمان نشان داده شده است. وزن نشت (w) می‌تواند به صورت تابع نمایی از زمان تعریف شود که توسط دو معادله زیر معرفی گردیده است [۱۰]:

$$w = w_0 (1 - e^{-kt})$$

$$k = \frac{A}{V} \frac{\varepsilon\zeta}{4\pi\eta} (E - \Delta E)$$

در جایی که w_0 وزن لایه نشانی اولیه در سوپسانسیون، A مساحت سطح الکترود، ε ثابت دیالکتریک مایع، ζ پتانسیل زنای ذرات، V حجم سوپسانسیون، η ویسکوزیته حلال، E پتانسیل اعمالی و ΔE افت پتانسیل می‌باشد. در آغاز فرایند EPD (در زمان‌های کوتاه) مقدار افت ولتاژ ناچیز است. از این‌رو برای سرعت نشت می‌توان یک معادله خطی با ضریب اطمینان بالا مطرح کرد. در زمان‌های نشت طولانی به دلیل تشکیل لایه عایق ZrO_2 روی الکترود هادی، ولتاژ افت می‌کند. بنابراین حرکت ذرات با بار مثبت در مقابل الکترود کاهش می‌یابد. به بیانی دیگر اختلاف در غلظت ذرات اطراف الکترود سیستمیک نشت را از خطی بودن به غیرخطی تغییر می‌دهد که می‌تواند به وسیله معادله زیر بیان شود [۱۱]:

$$w = (A + Bt)^{1/2} + C$$

که در اینجا A، B و C ثابت هستند.

همان‌گونه که از نمودارها مشخص است در تمامی ولتاژها و در زمان‌های ثابت، وزن نشت سوپسانسیون اتانول به ترتیب از ایزوپروپانول (TEA ۰/۳/v) و بوتانول (TEA ۰/۴۵/v) و بوتانول (TEA ۰/۱۵/v) بیشتر است که این مسئله به دلیل بالاتر بودن هدایت الکتریکی سوپسانسیون اتانول نسبت به سوپسانسیون‌های ایزوپروپانول و بوتانول به ترتیب می‌باشد (جدول ۱). حریان الکتریکی گذرا از سوپسانسیون‌ها با میزان بهینه TEA اندازه‌گیری شد و توسط رابطه مقاومت سوپسانسیون‌ها به دست آمد:

$$R = \frac{V}{I}$$

در جاییکه R مقاومت سوپسانسیون، V ولتاژ اعمالی و I حریان گذرا از سوپسانسیون می‌باشد. هدایت الکتریکی سوپسانسیون (E.C) نیز از رابطه محاسبه شد و در جدول ثبت گردید.

$$E.C = \frac{1}{R}$$

هنگامی که هدایت الکتریکی سوسپانسیون بالا باشد حرکت ذرات تحت تأثیر میدان الکتریکی به سمت زیرلایه سریع تر خواهد بود و بدین ترتیب وزن لایه نشت یافته بیشتر خواهد شد.

شکل ۵ رابطه بین دانسیته جریان پودر ZrO₂ در سوسپانسیون های اتانول (۰/۱۵/v TEA) به ترتیب از ایزوپروپانول (۰/۳/v TEA) و بوتانول (۰/۴۵/v TEA) به عنوان تابعی از ولتاژ اعمالی DC را نشان می دهد. دانسیته جریان متناسب با ولتاژ اعمالی است و تمایل به ناپایداری با افزایش ولتاژ را دارد. می توان فهمید که دانسیته جریان ناپایدار بر تشکیل رسوب یکنواخت در طی EPD پودر ZrO₂ مؤثر است. با توجه به شکل برای هر سه سوسپانسیون ناپایداری جریان در ولتاژ های بالای ۶۰ ولت مشهود است. بنابراین برای داشتن پوشش با کیفیت مناسب لازم است ولتاژ اعمالی < ۶۰ V انتخاب گردد.

تصاویر FESEM پوشش نشت یافته از سوسپانسیون های الکلی مختلف با غلظت بهینه TEA در ولتاژ های ۶۰ و ۲۰ و زمان ۳ min در شکل ۶ نشان داده شده است. تأثیر میزان ولتاژ بر روی کیفیت فیلم خام زیرکونیا به وضوح قابل مشاهده است. با افزایش ولتاژ لایه نشانی از ۶۰ V به ۲۰ V تخلخل های بیشتر و یکنواختی کمتری در میکرو ساختار پوشش دیده می شود. این مسئله می تواند به دلیل آن باشد که در ولتاژ های بالای نشت، نانو ذرات به سرعت در جلو الکترود با بار مخالف حرکت می کنند درنتیجه زمان کافی برای نشت در مکان مناسب درجایی که باعث تشکیل میکرو ساختار یکنواخت با دانسیته بالا شود، وجود ندارد [۱۲]. در میدان های الکتریکی بسیار بالا (< ۱۰۰ V/cm)، کاهش کیفیت رسوب محسوس تر می باشد [۱۳]

از طرفی دیده می شود که در سوسپانسیون اتانولی زیرکونیا در هر دو ولتاژ به صورت زیر و نامهوار همراه با ترک، رسوب یافته است. در مورد حلال اتانولی، ذرات به دلیل وجود پروتون کم در حمام، به خوبی پراکنده نشده اند. درنتیجه ذرات آگلومره شده و باعث پوششی زیر و نامهوار می شود. در مورد سوسپانسیون بوتانولی به دلیل پایداری مناسب، یکنواختی بیشتر، تخلخل ها و ترک های کمتری به ترتیب نسبت به ایزوپروپانول و اتانول مشاهده می شود.

شکل ۷ تصاویر ترک های فیلم خام حاصل از لایه نشانی ذرات زیرکونیا با ولتاژ اعمالی ۶۰ V توسط سوسپانسیون های اتانول (۰/۱۵/v TEA) به ترتیب از ایزوپروپانول (۰/۳/v TEA) و بوتانول (۰/۴۵/v TEA)، در زمان ۳ دقیقه را نشان می دهد. اتانول الکلی دارای دو کربن، ایزوپروپانول و بوتانول هر کدام به ترتیب دارای سه و چهار کربن می باشند. بنابراین وزن مولکولی اتانول بیشتر از ایزوپروپانول و بوتانول بوده و دارای سرعت تبخیر بیشتری نسبت به آن دو می باشد. هنگامی که فرایند الکتروفورتیک به پایان می رسد، الکترود لایه نشانی شده برای خشک شدن در معرض هوا قرار می گیرد.

شانزدهمین سیمار ملی مهندسی سطح

بنابراین هرچه سرعت تبخیر الكل بالاتر باشد، تنفس بیشتری بر لایه نشت یافته وارد می‌گردد و باعث ایجاد ترک‌های عمیق و گستردگتری در سطح پوشش می‌شود. همان‌طور که از شکل ۷ مشخص است، پوشش حاصل از اتانول دارای ترک‌های عمیق‌تر و بیشتری نسبت به دو سوپسانسیون دیگر می‌باشد. عمق کم و تابیوستگی ترک‌های سوپسانسیون بوتانول حاکی از کیفیت بالاتر این پوشش نسبت به پوشش‌های دیگر است.

تغییرات ولتاژ نیز کیفیت پوشش را تحت تأثیر قرار می‌دهد. افزایش ولتاژ اعمالی در فرایند الکتروفورتیک باعث ایجاد تلاطم و ناپایداری حریان می‌شود (شکل ۵) و همین مسئله موجب تجمع نامناسب ذرات، ایجاد تنفس و درنتیجه تشکیل ترک می‌گردد. به طوری که در ولتاژ‌های بالای $V = 100$ در مورد سوپسانسیون اتانولی پوشش پوسته‌پوسته شد. همان‌گونه که از شکل ۸ ملاحظه می‌شود، با افزایش ولتاژ اعمالی از 20 به $V = 60$ در مورد سوپسانسیون اتانول ($TEA = 45/0$)، پوشش دارای ترک‌های گستردگتر و عمیق‌تری بود. پوشش‌های حاصل از ایزوپروپانول و بوتانول در $V = 20$ بدون ترک بودند.

نتیجه‌گیری

- (۱) TEA به عنوان یک پایدارکننده مؤثر برای سوپسانسیون اتانولی (با غلظت بهینه $45/0$)، سوپسانسیون ایزوپروپانولی (با غلظت بهینه $3/0$) و سوپسانسیون بوتانولی (با غلظت بهینه $15/0$) می‌باشد.
- (۲) بیشترین سرعت نشت در فرایند الکتروفورتیک مربوط به سوپسانسیون اتانولی بود زیرا اتانول از هدایت الکتریکی بالاتری برخوردار است.
- (۳) تصاویر FESEM از پوشش‌های حاصل از این سوپسانسیون‌ها نشان داد که در مورد سوپسانسیون بوتانولی با لایه نشانی در ولتاژ‌های پایین سطح نمونه صاف، یکنواخت و بدون ترک می‌باشد.
- (۴) افزایش ولتاژ و ناپایداری حریان موجب پایین آمدن کیفیت سطح پوشش می‌گردد.

تشکر و قدردانی

از استادی مدحترم و محققین دانشگاه شهر کرد جهت راهنمایی شان سپاسگزاری می‌نماییم.

مراجع

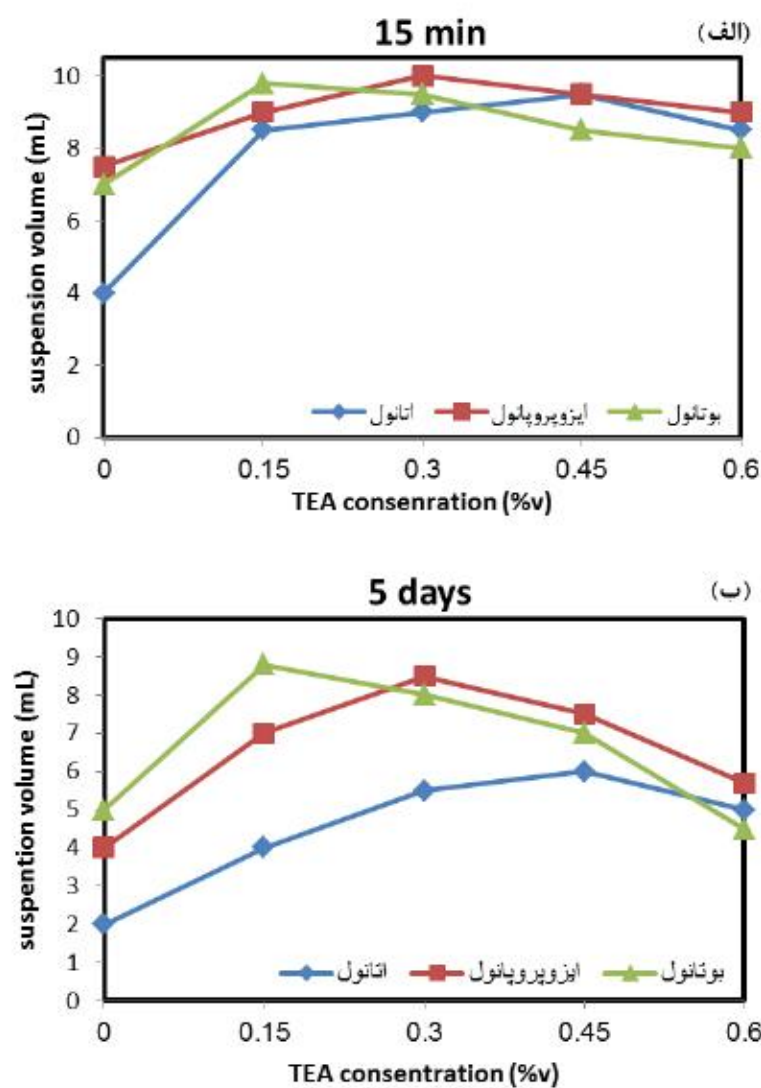
- [1] Besra, L., and Liu, M., "A review on fundamentals and applications of electrophoretic deposition (EPD)", *Progress in Materials Science*, Vol. 52, pp. 1-61, 2007.

- [۲] طالبی، ط، رئیسی، ب، و مقصودی پور، ا، "ساخت لایه الکتروولیت زیرکونیای پایدار شده با ایتریا (YSZ) بر کامپوزیت NiO-YSZ به روش نشت الکتروفورتیک (EPD) جهت کاربرد در بیل سوختی اکسید جامد (SOFC)، مجله بین المللی انرژی هیدروژن، جلد ۳۵، شماره ۱۶، ص ص ۹۴۵۵-۹۴۵۹، ۱۳۹۰.
- [۳] Zhitomirsky, I., and Petric, A., "Electrophoretic deposition of electrolyte materials for solid oxide fuel cell", Journal of Materials Science, Vol. 39, pp. 825-831, 2004.
- [۴] مقدس، ش، مقصودی پور، ا، عبادزاده، ت، و علیزاده، م، "تهیه الکتروولیت زیرکونیای پایدار شده با ایتریا به روش غوطه وری"، اولین کنفرانس بین المللی هیدروژن و بیل سوختی، ۱۳۸۷.
- [۵] Ji, C., Lan, W. and Xiao, P., "Fabrication of yttria-stabilized zirconia coatings using electrophoretic deposition: packing mechanism during deposition", J. Am. Ceram. Soc., Vol. 91, no. 4, pp. 1102–1109, 2008.
- [۶] Yuan, Y., Wang, X. and Xiao, P., "Attrition milling of metallicceramic particles in acetylacetone", J. Eur. Ceram. Soc., Vol. 24, no. 8, pp. 2233–2240, 2004.
- [۷] Paul, J. B., Provencal, R. A., Chapo, C., Roth, K., Casaes, R., and Sakally, R. J., "Infrared Cavity Ringdown Spectroscopy of the Water Cluster Bending Vibrations", J. Phys. Chem. A., Vol. 103, no. 16, pp. 2972–2974, 1999.
- [۸] Shen, Y., and Wu, P., "Two-Dimensional ATR-FTIR Spectroscopic Investigation on Water Diffusion in Polypropylene Film: Water Bending Vibration", J. Phys. Chem. A., Vol. 107, no. 18, pp. 4224–4226, 2003.
- [۹] Pavia, D. L., Lampman, G. M., Kriz, G. S., and James, Vyvyan, A., "Infrared Spectroscopy", Edited by Lockwood, L., Kirksey, B., Woods, E., Brown, K., and Kauser, B., Thomson Learning Inc, USA, New York, pp. 15–104, 2001.
- [۱۰] Zhang, Z., Huang, Y., and Jiang, Z., "Electrophoretic deposition forming of SiC-TZP composites in a nonaqueous sol media", J. Am. Ceram. Soc., Vol. 77, no. 7, pp. 1946–1949, 1994.
- [۱۱] Chen, CY., Chen, SY., and Liu, DM., "Electrophoretic deposition forming of porous alumina membranes", Acta Mater., Vol. 47, no. 9 pp. 2717–2726, 1999.
- [۱۲] Besra, L., and Liu, M., "A Review on Fundamental and Applications of Electrophoretic Deposition" Prog. Mater. Sci., Vol. 52, no. 1, pp. 1–61, 2007.
- [۱۳] Basu, R. N., Randall, C. A., and Mayo, M. J., "Fabrication of Dense Zirconia Electrolyte Films for Tubular Solid Oxide Fuel Cells by Electrophoretic Deposition", J. Am. Ceram. Soc., Vol. 84, no. 1, pp. 33–40, 2001.

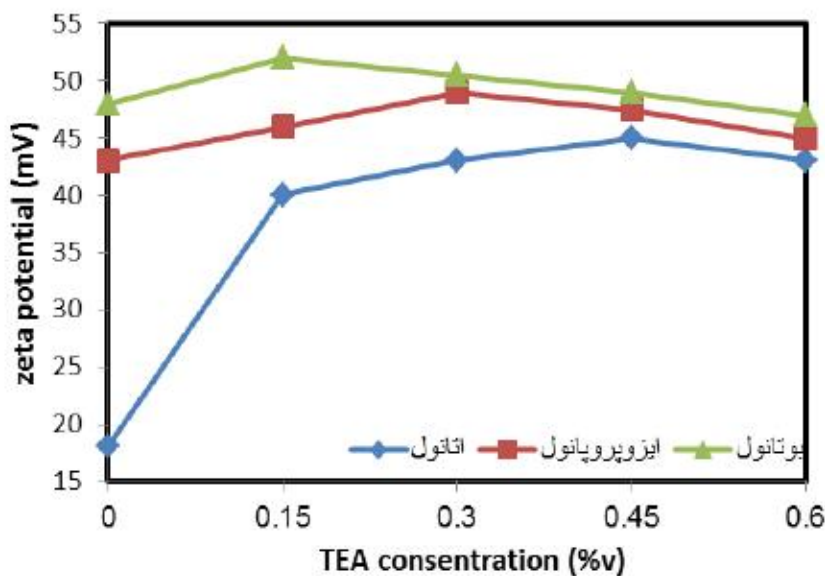
شانزدهمین سیمار ملی مهندسی سطح

جدول ۱- مقادیر مقاومت الکتریکی و هدایت الکتریکی سوپسنسیون‌های مختلف در طول فرایند EPD

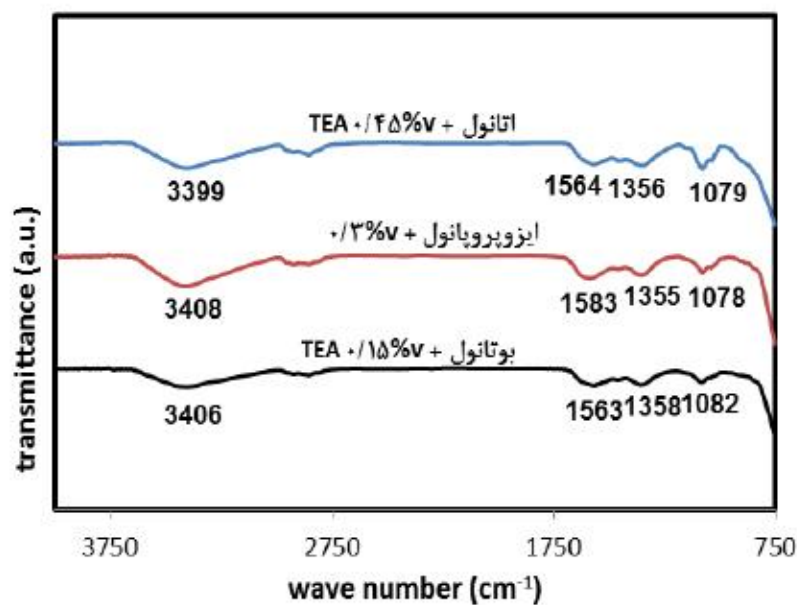
(TEA · ۰·۱۵/v)	(TEA · ۰·۳/v)	(TEA · ۰·۴۵/v)	نام سوپسنسیون
۲۶/۱۴	۲۰/۶۹	۴/۳۵	مقاومت الکتریکی
۰/۰۴۱	۰/۰۴۸	۰/۲۲۹	هدایت الکتریکی



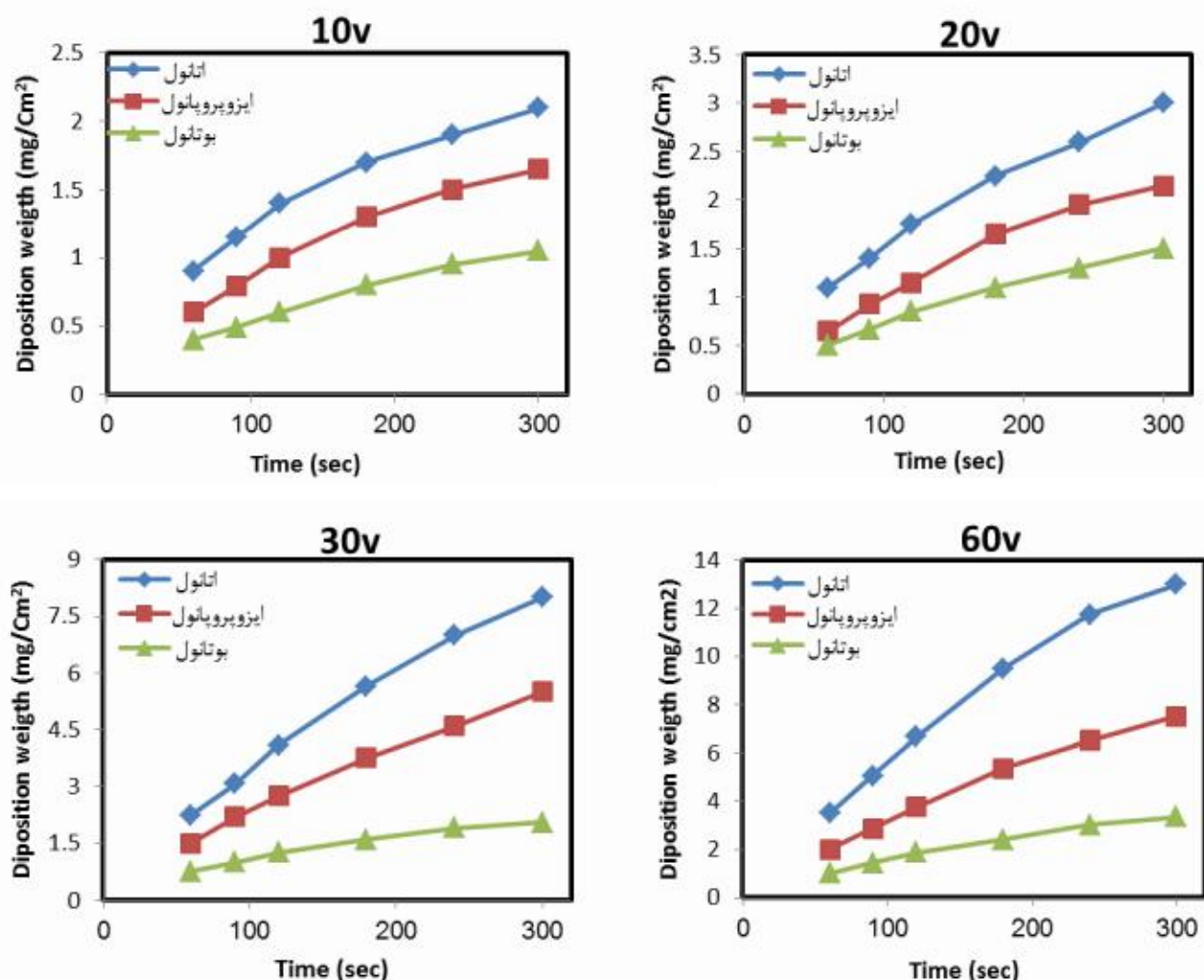
شکل ۱- حجم سوپسنسیون از سوپسنسیون‌های با غلظت‌های متفاوت TEA پس از زمان‌های (الف) ۱۵ min و (ب) ۵ روز



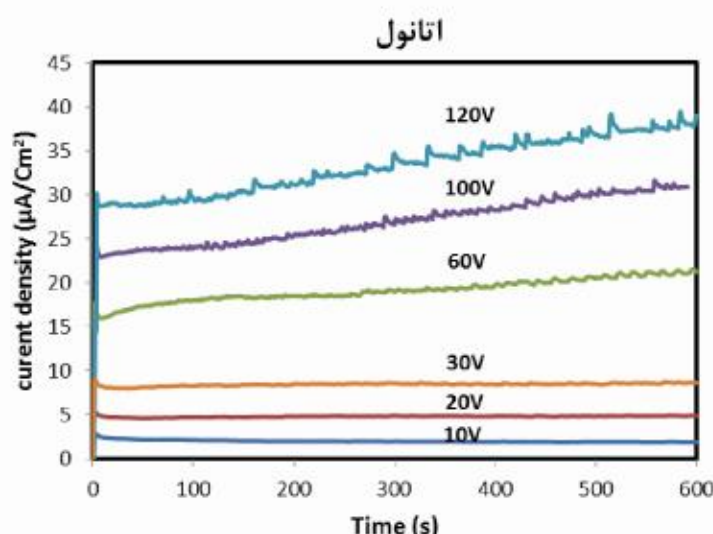
شکل ۲- پتانسیل زتا نانو ذرات زیر کونیا در سوسپانسیون های مختلف با غلظت های متفاوت TEA

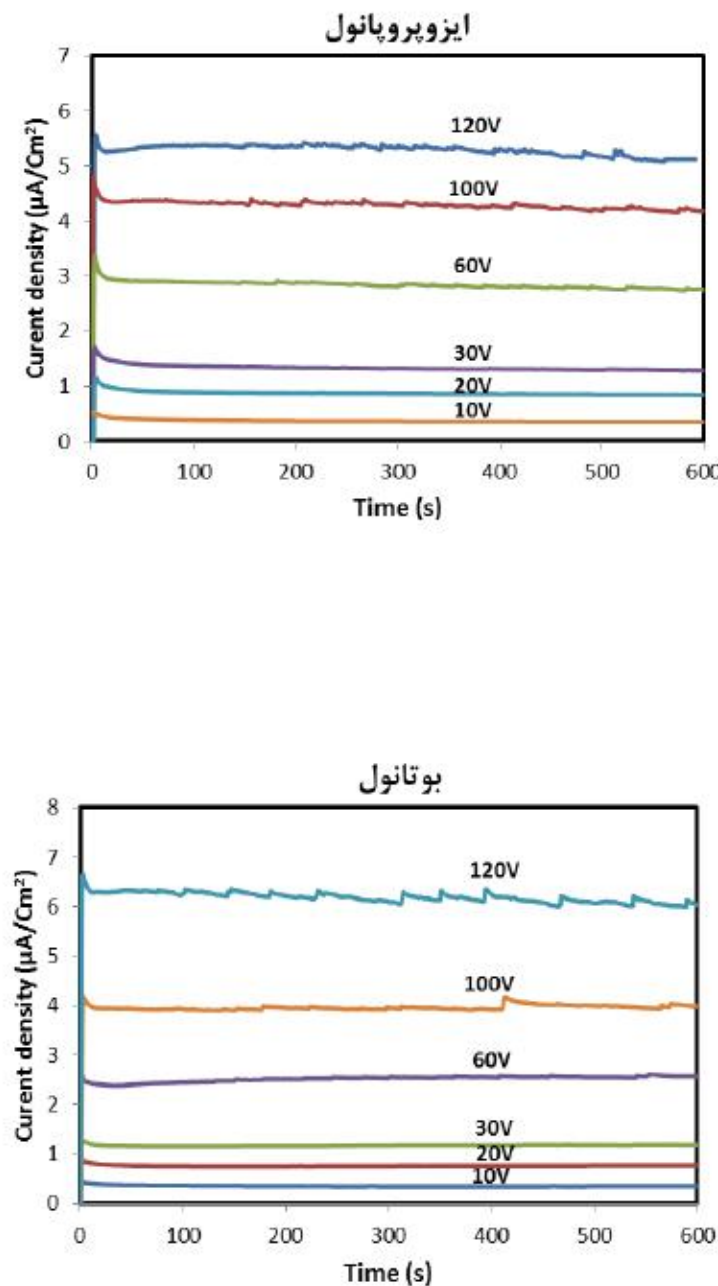


شکل ۳- نتایج حاصل از آنالیز FTIR برای پودرهای جدآشده از سوسپانسیون های مختلف



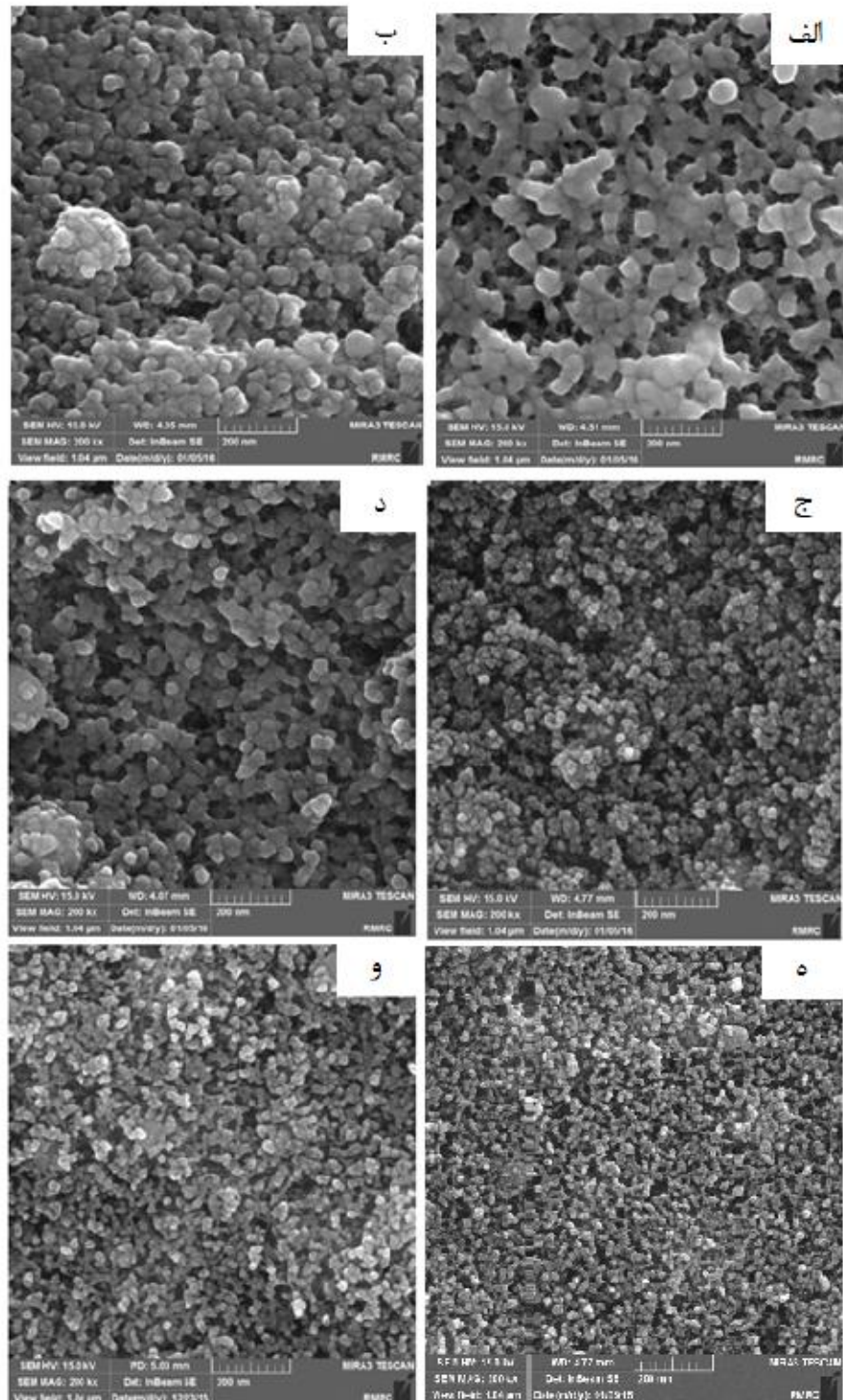
شکل ۴- وزن ZrO_2 نشست یافته از سوسپانسیون‌های مختلف بر حسب زمان در ولتاژ‌های (الف) ۲۰V، (ب) ۳۰V و (ج) ۶۰V



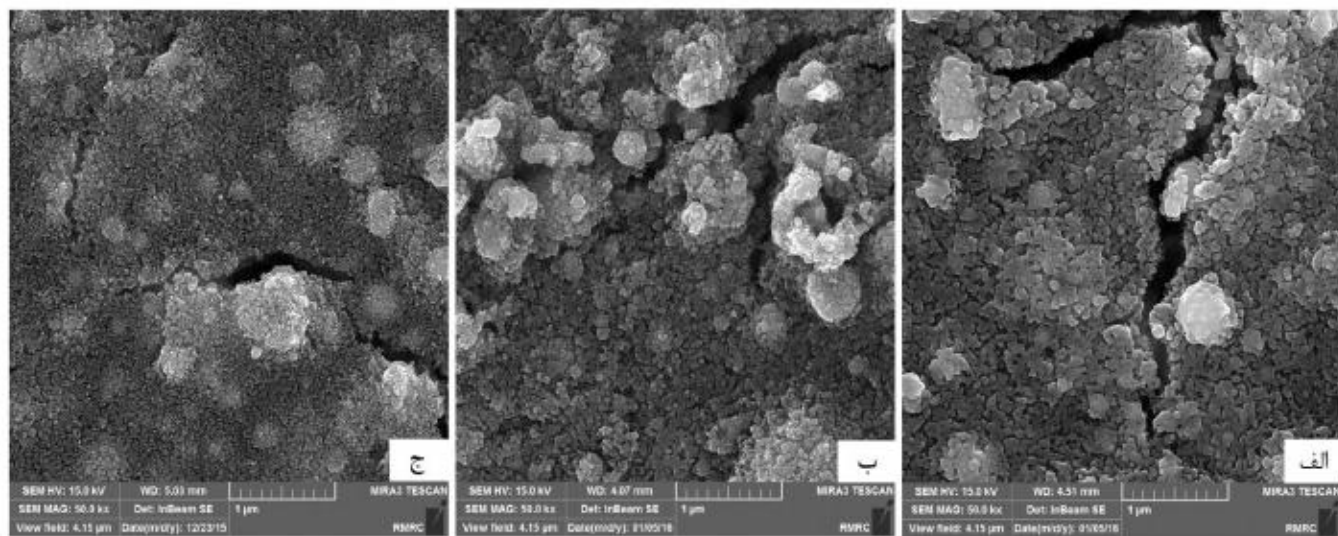


شکل ۵- رابطه میان دانسته جریان و ولتاژ اعمالی برای سوسپانسیون های (الف) ایزوپروپانول، (ب) اتانول و (ج) بوتانول

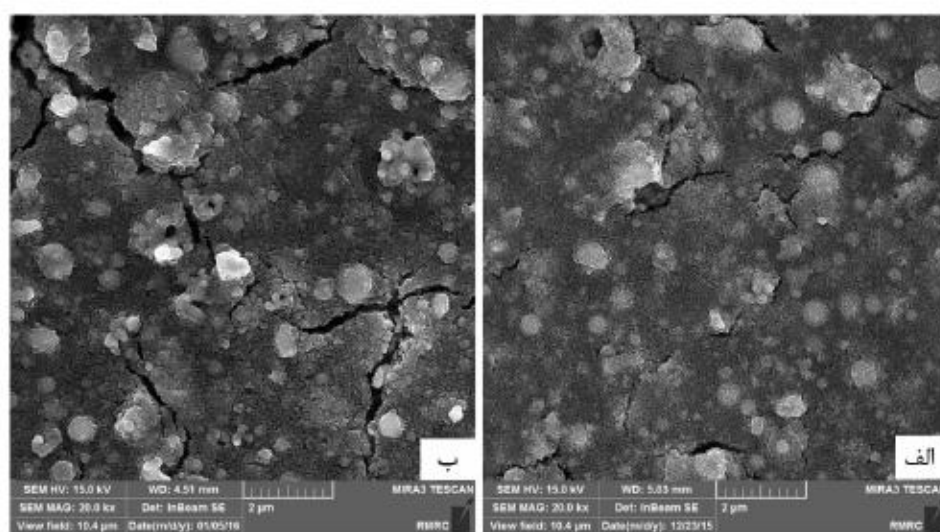
شانزدهمین سیمار ملی مهندسی سطح



شکل ۶- تصاویر FESEM از فیلم ZrO_2 نشست داده شده بر سطح زیر لایه فولادی با سوسپانسیون و ولتاژ: (الف)
اتانولی و V₂₀, (ب) اتانولی و V₆₀, (ج) ایزوپروپانولی و V₂₀, (د) ایزوپروپانولی و V₆₀, (ه) بوتانولی و V₂₀ و (و)
بوتانولی و V₆₀.



شکل ۷- تصاویر FESEM، ترک های فیلم خام حاصل از لایه نشانی ذرات ZrO_2 در ولتاژ ثابت ۶۰ V توسط سوسپانسیون های: (الف) اتانول، (ب) ایزوپروپانول و (ج) بوتانول



شکل ۸- تصاویر FESEM، ترک های فیلم خام حاصل از لایه نشانی ذرات ZrO_2 توسط سوسپانسیون اتانول در ولتاژ های: (الف) ۲۰ V و (ب) ۶۰ V

